# МОДЕЛИРОВАНИЕ МАГНИТНЫХ СВОЙСТВ И ЭЛЕКТРОННОЙ СТРУКТУРЫ СПЛАВОВ ГЕЙСЛЕРА Co-Cu-Mn-Al

E.Д. Чернов  $a^*$ , A.В. Лукоянов a,b

<sup>а</sup> Институт физики металлов им. М. Н. Михеева Уральского отделения Российской академии наук 620108, Екатеринбург, Россия

<sup>b</sup> Уральский федеральный университет им. Первого Президента России Б. Н. Ельцина 620002, Екатеринбург, Россия

Поступила в редакцию 17 июля 2025 г., после переработки 21 августа 2025 г. Принята к публикации 24 августа 2025 г.

Представлены результаты компьютерного моделирования для сплавов Гейслера Co–Cu–Mn–Al. В ходе расчетов были исследованы магнитные свойства и электронная структура сплава  ${\rm Co}_x{\rm Cu}_{2-x}{\rm MnAl}$  при  $x=0,\ 0.5,\ 1,\ 1.5,\ 2.$  Исследуемые сплавы  ${\rm Co}_{0.5}{\rm Cu}_{1.5}{\rm MnAl}$ , CoCuMnAl, Co $_{1.5}{\rm Cu}_{0.5}{\rm MnAl}$  проявляют металлические свойства. В свою очередь,  ${\rm Co}_2{\rm MnAl}$  проявляет свойства полуметалла. Было показано, что с увеличением x увеличивался полный магнитный момент системы, и при x=1.5 его значение составило  $4.5\mu_B$ , поэтому данные сплавы представляют интерес для применения в спинтронике.

## **DOI**: 10.7868/S3034641X25110086

#### 1. ВВЕДЕНИЕ

Сплавы Гейслера являются перспективными материалами благодаря своими уникальным магнитным и транспортными свойствами [1]. В зависимости от своей структуры и состава они способны проявлять свойства полуметаллов, топологических вейлевских и дираковских полуметаллов, бесщелевых спиновых полупроводников, сверхпроводников и т. д. [2]. Также эти соединения демонстрируют широкий спектр явлений, включая высокую спиновую поляризацию, аномальный эффект Холла и высокую температуру Кюри  $T_C$ , что делает их перспективными материалами для применения в таких областях, как спинтроника и магнитоэлектроника [3]. Среди полных сплавов Гейслера особое место занимают системы на основе кобальта. Этот тип соединений часто обладает значительным магнитосопротивлением, полуметалличностью и другими свойствами [4], которые используются в спинтронике, магнитооптике, устройствах памяти и т. д. [5]. Поэтому осуществляется поиск новых сплавов Гейслера с высокой спиновой поляризацией при высоких температурах упорядочений. Недавно

были обнаружены новые сплавы на основе кобальта  $\mathrm{Co_2MnGa_{0.2}As_{0.8}}$  и  $\mathrm{Co_2FeAl_{0.4}Sn_{0.6}}$  [6].

Наибольший интерес получил сплав Co<sub>2</sub>MnAl, который проявляет свойства ферромагнитного топологического полуметалла с аномальным эффектом Холла и управляемой топологией [7]. В зависимости от фазы этот сплав обладает различными свойствами. Так, исследования показывают, что температура Кюри сплава Co<sub>2</sub>MnAl в L2<sub>1</sub>-фазе составляет  $T_{\rm C} = 726~{\rm K}$ , в то время как в B2-фазе она принимает значение на 50 K меньше ( $T_{\rm C} = 677$  K). Также значение магнитного момента в В2-фазе  $(4.16\mu_B)$  больше, чем в L2<sub>1</sub>-фазе  $(4.06\mu_B)$  [8]. Теоретические исследования методом функционала плотности этих двух фаз показывают хорошее согласие магнитных свойств с экспериментальными данными, при этом теоретические значения температуры Кюри переоценены [9]. Также активно ведутся исследования эпитаксиальных тонких пленок Co<sub>2</sub>MnAl, в которых было обнаружено анизотропное магнитосопротивление, а также изменение знака сопротивления доменных стенок при понижении температуры (<250 K) [10]. В свою очередь, тонкие пленки ферромагнитного вейлевского полуметалла Co<sub>2</sub>MnGa обладают высоким значением аномального эффекта Нерста [4,11] и нетривиальными топологическими особенностями зонной структуры [12].

 $<sup>^*</sup>$  E-mail: chernov\_ed@imp.uran.ru

Сплав Co<sub>2</sub>MnGа может быть применен для магнитных сенсоров [13] и других устройств спинтроники [14], а также в качестве катализатора для реакций выделения водорода [15].

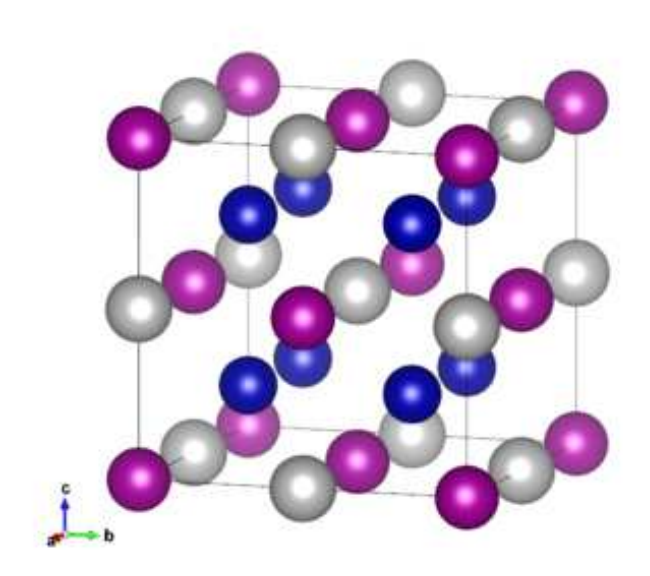
Также ведутся исследования сплава Co<sub>2</sub>CrAl, где кобальт изменен на более доступные элементы, такие как Cu. Mn. Ni Fe. с сохранением полуметаллических свойств. Исследования показывают, что синтезированные образцы CuMnCrAl, NiFeCrAl, Ni<sub>0.5</sub>Fe<sub>1.5</sub>CrAl превосходят Co<sub>2</sub>CrAl по температуре Кюри и стабильности, что также делает их перспективными для устройств спинтроники [16]. Исследование влияния дефектов (вакансии кобальта) на магнитные, транспортные и электронные свойства сплава Co<sub>2</sub>ZrSn показывает, что они приводят к снижению полного магнитного момента соединения, но не разрушают полуметалличности. Также это подтверждают DFT-расчеты, что делает это соединение стабильным материалом для устройств спинтроники [2].

На данный момент важной задачей является поиск материалов с нужными для спинтроники свойствами, которые обусловлены сильной спиновой поляризацией [17]. Расчеты электронной структуры и магнитных свойств сплавов Гейслера Co<sub>2</sub>YAl (Y переходный 3*d*-элемент) показывают, что эти соединения являются полуметаллическими ферромагнетиками и выполняют правило Слейтера-Полинга [18]. Следствием высокой спиновой поляризации в Co<sub>2</sub>MnAl также является выраженный аномальный эффект Холла [19, 20]. Теоретические расчеты свойств гетероструктур Co<sub>2</sub>MnAl/CoVMnAl предсказали, что на поверхности Co-Mn/Mn-Al магнитные моменты Mn имеют антиферромагнитное упорядочение, а поверхность Co-Co/V-Al может обладать высокой спиновой поляризацией [21]. Такие гетероструктуры имеют большие перспективы использования в устройствах спинтроники.

В работе выполнено теоретические моделирование электронной структуры и магнитных моментов сплавов Гейслера  $\mathrm{Co}_2\mathrm{MnAl}$  и  $\mathrm{Cu}_2\mathrm{MnAl}$ , а также сплавов промежуточных составов  $\mathrm{Co}_{0.5}\mathrm{Cu}_{1.5}\mathrm{MnAl}$ ,  $\mathrm{Co}_2\mathrm{Cu}_{0.5}\mathrm{Cu}_{0.5}\mathrm{MnAl}$ .

## 2. МЕТОДЫ МОДЕЛИРОВАНИЯ И КРИСТАЛЛИЧЕСКАЯ СТРУКТУРА

Расчеты электронной структуры проведены в рамках теории функционала плотности с использованием плоских волн и псевдопотенциалов РВЕ-типа [22]. Для вычислений применялось



**Рис. 1.** Кристаллическая структура  $Fm\bar{3}m$  сплава  $Co_2MnAl$ . Атомы Co/Cu показаны синим, атомы Mn — фиолетовым, атомы Al — серым

спин-поляризованное приближение обобщенной градиентной поправки GGAпакета Quantum [23].ESPRESSO Для расчетов использованы псевдопотенциалы из стандартных библиотек Quantum ESPRESSO. В работе используется метод интегрирования по зоне Бриллюэна суммирования с размытием (smearing). Подход ab initio основан на использовании экспериментальных данных по кристаллической структуре. Данный теоретический подход позволяет моделировать различные типы магнитного упорядочения, эффектов приложенного давления, магнитного поля и прочих внешних факторов для улучшения магнитных и спектральных характеристик материалов.

На рис. 1 представлена кристаллическая структура рассматриваемых соединений, построенная в программе Vesta [24]. Соединения  $Co_2MnAl$  и  $Cu_2MnAl$  кристаллизуются в кубической структуре  $Fm\bar{3}m$  (пространственная группа № 225). Для моделирования составов CuCoMnAl,  $Co_{0.5}Cu_{1.5}MnAl$ ,  $Co_{1.5}Cu_{0.5}MnAl$  использовалась сверхъячейка из 16 атомов (с 4 формульными единицами) на базе сплава  $Co_2MnAl$ .

Стартовые координаты атомов для структуры  $L2_1$  до оптимизации представлены в таблице. Для различных магнитных стартовых взаимных расположений магнитных моментов ионов переходных металлов было получено только одно стабильное решение с сонаправленным расположением моментов, кроме случая  $Co_2MnAl$ , в котором антиферромагнитное упорядочение моментов оказалось возмож-

Mn

	11.			
Ион	Точечная симметрия	x	y	z
Co/Cu	8c	1/4	1/4	1/4
Al	4b	1/2	1/2	1/2

**Таблица.** Координаты атомов в соединении  $Co_x Cu_{2-x} MnAI$  до оптимизации

4a

ным, но невыгодным по полной энергии. В работе были использованы экспериментальные значения постоянной решетки a для сплавов  $\mathrm{Co}_x\mathrm{Cu}_{2-x}\mathrm{MnAl}$ : для x=0 a=5.97 Å, 0.5-5.95 Å, 1-5.87 Å, 1.5-5.82 Å, 2-5.77 Å [25]. В расчетах проводилась оптимизация позиций и объема ячейки в подходе устеlах [23] со стандартными значениями порога сходимости для изменения полной энергии  $10^{-4}$  и сил  $10^{-3}$ . Отклонение объемов и позиций от задаваемых экспериментальными значениями составило до 2%.

## 3. РЕЗУЛЬТАТЫ И ОБСУЖДЕНИЕ

Cоединение CoCuMnAl обладает металлическими свойствами в обоих спиновых направлениях (см. рис. 2). Ионы марганца Мп и кобальта Со имеют выраженную спиновую поляризацию, что подтверждают величины магнитных моментов ионов. Анализ парциальных плотностей состояний показал, что электронные 3*d*-состояния ионов меди образуют группу пиков большой интенсивности в интервале от -5 до -3 9B, а частично заполненные 3*d*-состояния ионов кобальта располагаются главным образом от -3 до 0 9B в обеих спиновых проекциях. 3d-состояния марганца располагаются в интервале от -5 до 0 9B для проекции спина «вверх» и от 1 до 3 эВ (выше уровня Ферми, относительно которого построены плотности электронных состояний) для проекции спина «вниз», см. рис. 2.

В заполненных состояниях преобладают плоские зоны, соответствующие пикам на графике плотностей электронных состояний. Существенные различия наблюдаются при энергиях выше уровня Ферми, в спиновом направлении «вверх» — диспергирующие зоны, что соответствует малой плотности электронных состояний.

В выполненных расчетах с учетом спиновой поляризации на ионах Mn магнитный момент составил  $3.30\mu_B$ , на ионах Co  $-1.19\mu_B$ , а на ионах Cu и Al  $-0.07\mu_B$  и  $-0.07\mu_B$  соответственно.

В соединении  $Co_2MnAl$  (рис. 3) в спиновом направлении «вниз» уровень Ферми пересекает валентную зону только в точке  $\Gamma$ . При небольшом

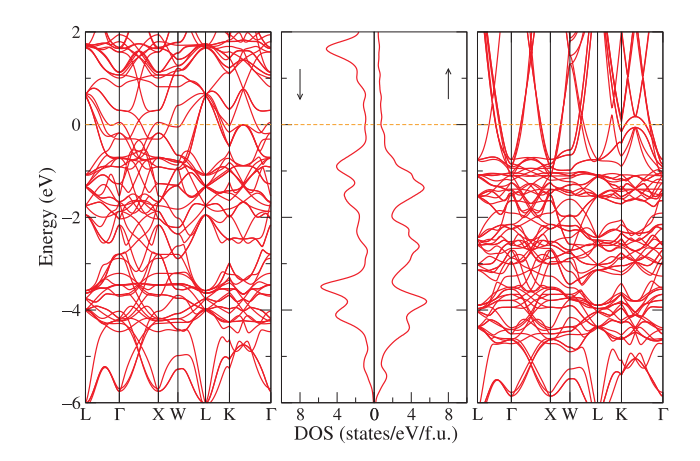
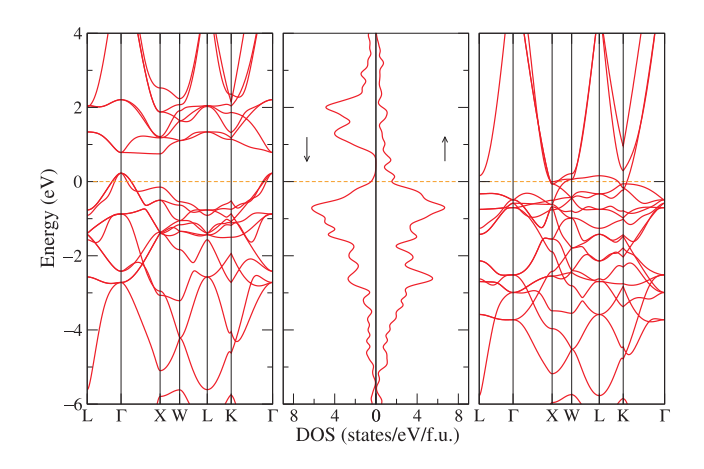
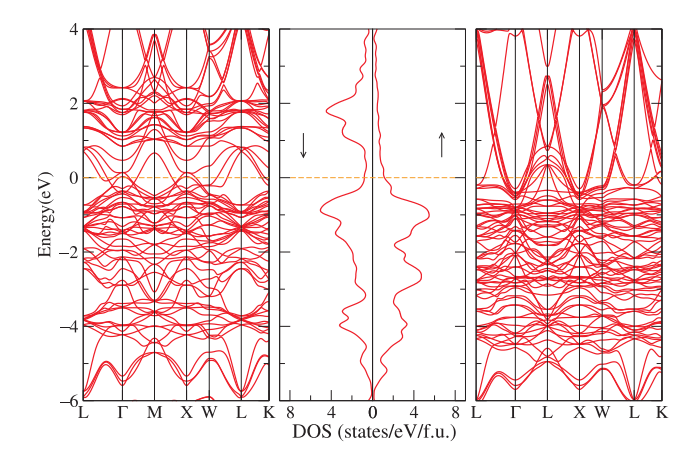


Рис. 2. Зонная структура соединения CuCoMnAl в сравнении с полной полностью состояний для двух спиновых направлений. Графики смещены относительно уровня Ферми (обозначен горизонтальной штриховой линией)

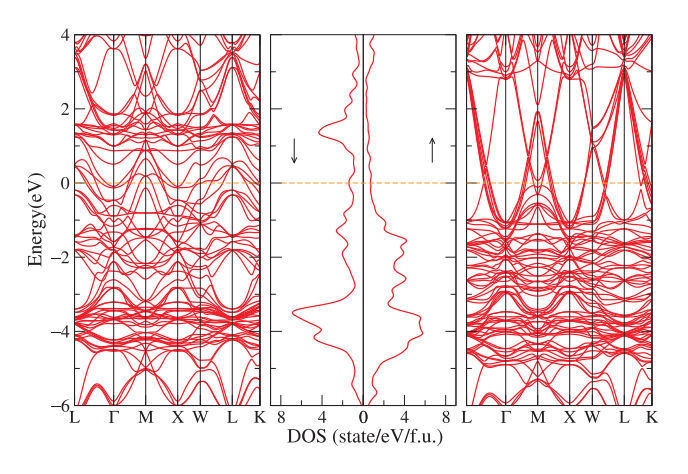


**Рис. 3.** Зонная структура соединения  $Co_2MnAl$  в сравнении с полной полностью состояний. Графики смещены относительно уровня Ферми (обозначен горизонтальной штриховой линией)

электронном допировании, которое сместит уровень Ферми чуть выше, в точке  $\Gamma$  образуется энергетическая щель. В спиновом направлении «вверх» наблюдаются металлические свойства. В соединении  $\text{Co}_2\text{MnAl}$  реализуется почти полуметаллическое (half-metal) состояние. При энергиях выше уровня Ферми в спиновом направлении «вверх» наблюдаются более диспергирующие зоны, которые соответствуют малой полной плотности. В сплаве отсутствуют ионы Cu, поэтому плотность состояний с энергией от -5 до -3 эВ значительно меньше, чем в соединении CoCuMnAl. Вблизи уровня Ферми плотность состояний возросла за счет большего количества ионов  $\text{Co}_2$ 0 в сплаве.



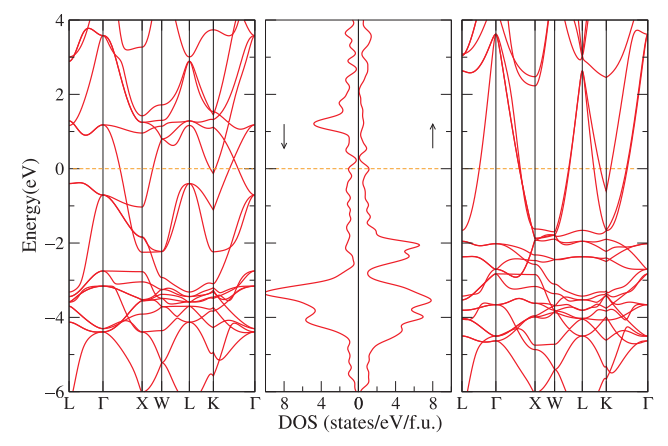
**Рис. 4.** Зонная структура соединения  $Co_{1.5}Cu_{0.5}MnAl$  в сравнении с полной полностью состояний. Графики смещены относительно уровня Ферми (обозначен горизонтальной штриховой линией)



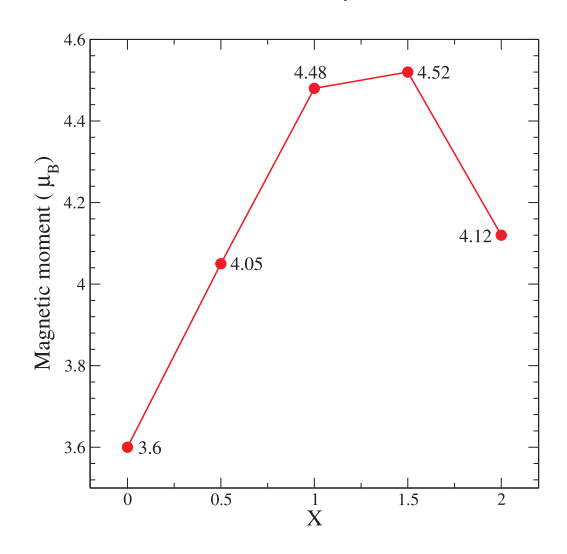
**Рис. 5.** Зонная структура соединения  $Co_{0.5}Cu_{1.5}MnAl$  в сравнении с полной полностью состояний. Графики смещены относительно уровня Ферми (обозначен горизонтальной штриховой линией)

В сплаве  $Co_2MnAl$  магнитный момент на ионах Mn составил  $2.87\mu_B$ , на ионах  $Co-0.74\mu_B$ , а на ионах Al он равен  $-0.08\mu_B$ .

При замещении двух атомов Со атомами Си в сверхъячейке в спиновом направлении «вниз» происходит закрытие энергетической щели, которая наблюдалась в соединении  $\mathrm{Co_2MnAl.}$  Сплав  $\mathrm{Co_{1.5}Cu_{0.5}MnAl}$  обладает слабовыраженными металлическими свойствами в обоих спиновых направлениях из-за малого количества электронных состояний на уровне Ферми, см. рис. 4. Магнитный момент на ионах  $\mathrm{Mn}$  в  $\mathrm{Co_{1.5}Cu_{0.5}MnAl}$  составил  $3.11\mu_B$ , на ионах  $\mathrm{Co}-1.03\mu_B$ , а на ионах  $\mathrm{Cu}$  и  $\mathrm{Al}-0.08\mu_B$  и  $0.08\mu_B$  соответственно.



**Рис. 6.** Зонная структура соединения  $Cu_2MnAl$  в сравнении с полной полностью состояний. Графики смещены относительно уровня Ферми (обозначен горизонтальной штриховой линией)



**Рис. 7.** Зависимость полного магнитного момента от содержания Со (в магнетонах Бора на формульную единицу) в серии сплавов  $Co_xCu_{2-x}MnAl$ 

 $Co_{0.5}Cu_{1.5}MnAl$ Зонная структура сплава (рис. 5) схожа с зонными структурами соединений серии. Он также обладает слабовыраженными металлическими свойствами в обоих спиновых направлениях из-за малого количества электронных состояний на уровне Ферми. С увеличением количества ионов меди в сверхячейке растет плотность состояний за счет 3d-состояний ионов меди, образующих группу пиков большой интенсивности в интервале от -5 до -3 эВ. При этом плотность состояний вблизи уровня Ферми уменьшается из-за уменьшения количества ионов Со. Магнитный момент на ионах Mn в Co<sub>0.5</sub>Cu<sub>1.5</sub>MnAl составил  $3.38\mu_{B}$ , на ионах Со  $-~1.2\mu_{B}$ . На ионах Си и А<br/>1 магнитные моменты равны  $0.05\mu_B$  и  $-0.07\mu_B$  соответственно.

Соединение  $Cu_2MnAl$  (рис. 6) также является плохим металлом в обоих спиновых направлениях из-за малого количества электронных состояний на уровне Ферми. При полном замещении ионов Со ионами Си на графике плотности состояний наблюдается максимальная плотность 3d-состояний ионов меди в интервале энергий от -5 до -3 эВ. При этом отсутствие ионов Со объясняет наименьшую плотность состояний вблизи уровня Ферми. Магнитный момент на ионах Mn в  $Cu_2MnAl$  составил  $3.74\mu_B$ , на ионах  $Cu - 0.02\mu_B$ , на ионах Al он равен Al он A

Обнаружено, что полный магнитный момент для промежуточных сплавов  $\mathrm{Co}_{1.5}\mathrm{Cu}_{0.5}\mathrm{MnAl}$ ,  $\mathrm{CoCuMnAl}$  значительно больше (см. рис. 7), чем в сплаве без  $\mathrm{Co}$  ( $\mathrm{Cu}_2\mathrm{MnAl}$ ) и больше, чем в сплаве с полным замещением атомов  $\mathrm{Cu}$  атомами  $\mathrm{Co}$ .

## 4. ЗАКЛЮЧЕНИЕ

В результате выполненных в рамках теории функционала плотности расчетов электронной структуры соединений  $\mathrm{Co}_{1.5}\mathrm{Cu}_{0.5}\mathrm{MnAl}$ ,  $\mathrm{Co}\mathrm{CuMnAl}$ ,  $\mathrm{Co}_{0.5}\mathrm{Cu}_{1.5}\mathrm{MnAl}$ ,  $\mathrm{Cu}_2\mathrm{MnAl}$  было получено, что данные соединения являются металлами, а  $\mathrm{Co}_2\mathrm{MnAl}$  — полуметаллом. При анализе магнитных моментов было выявлено, что в серии соединений  $\mathrm{Co}_x\mathrm{Cu}_{2-x}\mathrm{MnAl}$  реализуется ферромагнитное упорядочение магнитных ионов марганца и кобальта. Полный магнитный момент для промежуточных сплавов  $\mathrm{Co}_{1.5}\mathrm{Cu}_{0.5}\mathrm{MnAl}$ ,  $\mathrm{Co}\mathrm{CuMnAl}$  значительно больше, чем в сплаве без  $\mathrm{Co}$  ( $\mathrm{Cu}_2\mathrm{MnAl}$ ) и больше, чем в сплаве с полным замещением атомов  $\mathrm{Cu}$  атомами  $\mathrm{Co}$ .

**Благодарности.** Авторы выражают признательность И. С. Дедову за помощь при оформлении ранней версии статьи.

Финансирование. Исследование выполнено при поддержке Российского научного фонда, проект № 25-22-00481 (https://rscf.ru/en/project/25-22-00481/, Институт физики металлов имени М. Н. Михеева Уральского отделения РАН).

## ЛИТЕРАТУРА

- S. Tavares, K. Yang, and M. A. Meyers, Prog. Mater. Sci. 132, 101017, (2023).
- A. Difalco, A. Castellero, M. Palumbo, M. Baricco,
  S. Boldrini, A. Ferrario, C. Fanciulli, O. Rouleau,

- B. Villeroy, G. Barrera, P. M. Tiberto, P. Allia, and E. Alleno, J. Alloys Compd. **1027**, 180557 (2025).
- M. Wang, C. Pan, N. Xie, X. Qiu, Y. Li, L. Lang, S. Wang, D. Cheng, W. Fan, S.-M. Zhou, and Z. Shi, Adv. Sci. 12, 2407171 (2025).
- B. Mallett, Y. Zhang, C. Pot, K. V. Koughnet,
  B. Stanley, R. G. Buckley, A. Koo, Y. Yin,
  N. V. Medhekar et al., Phys. Rev. Mater. 7, 094203 (2023).
- N. Maji and T. K. Nath, Appl. Phys. Lett. 120, 072401 (2022).
- I. Kurniawan, Y. Miura, and K. Hono, Phys. Rev. Mater. 6, L091402 (2022).
- P. Li, J. Koo, W. Ning, J. Li, L. Miao, L. Min, Y. Zhu,
  Y. Wang, N. Alem, C.-X. Liu, Z. Mao, and B. Yan,
  Nat. Commun. 11, 3476 (2020).
- R. Y. Umetsu, K. Kobayashi, A. Fujita, R. Kainuma, and K. Ishida, J. Appl. Phys. 103, 07D718 (2008).
- X. Zhu, E. Jiang, Y. Dai, and C. Luo, J. Alloys Compd. 632, 528 (2015).
- S.-Q. Wang, M.-Z. Wang, Y.-F. Li, W. Zhu, Z.-G. Wang, and Z. Shi, J. Magn. Magn. Mater. 579, 170771 (2023).
- G.-H. Park, H. Reichlova, R. Schlitz, M. Lammel,
  A. Markou, P. Swekis, P. Ritzinger, D. Kriegner,
  J. Noky et al., Phys. Rev. B 101, 060406(R) (2020).
- G. Chang, S.-Y. Xu, X. Zhou, S.-M. Huang, B. Singh,
  B. Wang, I. Belopolski, J. Yin, S. Zhang et al., Phys. Rev. Lett. 119, 156401 (2017).
- M. Aoki, Y. Yin, S. Granville, Y. Zhang,
  N. V. Medhekar, L. Leiva, R. Ohshima, Y. Ando,
  and M. Shiraishi, Nano Lett. 2, 6951 (2023).
- A. Mahendra, P. P. Murmu, S. K. Acharya, A. Islam, H. Fiedler, P. Gupta, S. Granville, and J. Kennedy, Sensors 23, 4564 (2023).
- Z. He, L. Wang, Y. Liu, Z. Li, X. Dai, G. Liu, and X. Zhang, J. Chem. Eng. 481, 148123 (2024).
- J. Goraus, W. Gumulak, M. Kałdziołka-Gaweł,
  O. Zivotsky, J. Klimontko, and O. Starczewska,
  J. Magn. Magn. Mater. 629, 173218 (2025).
- K. Inomata, N. Ikeda, N. Tezuka et al., Sci. Technol. Adv. Mater. 9, 014101 (2008).
- H. C. Kandpal, G. H. Fecher, and C. Felser, J. Phys. D 40, 1507 (2007).
- Jen-Chuan Tung and Guang-Yu Guo, New J. Phys. 15, 033014 (2013).
- 20. J. Kübler and C. Felser, EPL 114, 47005 (2016).

- I. Di Marco, A. Held, S. Keshavarz et al., Phys. Rev. B 97, 035105 (2018).
- **22**. J. P. Perdew, K. Burke, and M. Ernzerhof, Phys. Rev. Lett. **77**, 3865 (1996).
- **23**. P. Giannozzi, O. Andreussi, T. Brumme, et al., J. Phys.: Condens. Matter. **29**, 465901 (2017).
- **24**. K. Momma and F. Izumi, J. Appl. Crystallogr. **44**, 1272 (2011).
- 25. Yu. Perevozchikova, A. Semiannikova, V. Irkhin, E. Chernov, A. Lukoyanov, A. Protasov, A. Korolev, E. Marchenkova, V. Marchenkov, Electronic and Magnetic Properties of Cast and Rapid Melt Quenched Cu-Co-Mn-Al Heusler Alloys, in Book of Abstracts, VI International Baltic Conference on Magnetism (IBCM-2025), August 17-21, 2025, Kaliningrad, Russia, p. 143.